

49
The Journal of Business Ethics

4905

МИНИСТЕРСТВО ОБРАЗОВАНИЯ И НАУКИ РОССИЙСКОЙ ФЕДЕРАЦИИ

СИСТЕМА УПРАВЛЕНИЯ В РАДИОЗОНЕ

Методические указания к лабораторной работе № 5

УДК 621.396

Система управления в радиозоне: методические указания к лабораторной работе №5 / Рязан.гос.радиотехн.ун-т; сост.: В.С.Паршин, М.В.Кулакова. Рязань, 2015. 12 с.

Изложены особенности системы управления в радиозоне.

Предназначена для студентов 5-го курса специальности 11.05.01 и бакалавров направления 11.03.01 ФРТ.

Табл. 4. Ил. 8. Библиогр.: 3 назв.

ЦЕЛЬ РАБОТЫ

Системы управления в радиозоне.

Влияние воздействия шумов на точность управления

КРАТКИЕ ТЕОРЕТИЧЕСКИЕ СВЕДЕНИЯ

- Изучение системы управления в радиозоне.
 - Исследование воздействия шумов на точность управления.

КРАТКИЕ ТЕОРЕТИЧЕСКИЕ СВЕДЕНИЯ

1. Принцип действия

Радиоуправление, рабочая сигнальная зона, радиозона, контур управления, частота манипуляции, диаграмма направлений

Печатается по решению редакционно-издательского совета Рязанского государственного радиотехнического университета.

Рецензент: кафедра радиоуправления и связи Рязанского государственного радиотехнического университета (зав. кафедрой) С.Н.Кириллов)

Пусть в пункте управления (ПУ) расположена передающая антenna, диаграмма направленности которой с максимумом, развернутым на угол ϕ от оси Z, периодически с частотой манипуляции $F_{\text{МН}}$ переключается из положения "1" в положение "2", находясь в обоих положениях одинаковое время, равное $T_{\text{мн}}/2$ (рис. 1). Амплитудное равносигнальное направление, формируемое в плоскости OZ, называется радиозоной. В пределах радиозоны амплитуда несущего колебания, излучаемого передатчиком ПУ, не меняется при переключении диаграммы направленности антенны из положения "1" в положение "2". Чтобы определить направление отклонения ЛА от радиозоны, сигналы, излучаемые антенной в положении "1" и "2", ее диаграммы направленности, имеют характерные отличия, "окраску". "Окраска" сигналов обеспечивается амплитудной модуляцией несущего колебания поднесущими частотами $F_{\text{п1}}$ и $F_{\text{п2}}$.

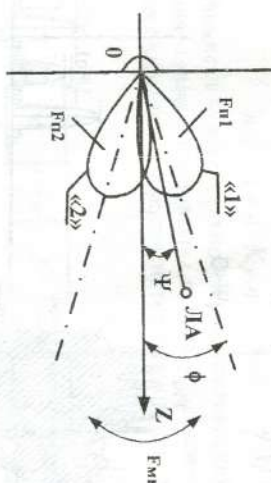


Рис. 1. формирование радиозоны

Корректор С.В. Макушина
Годписано в печать 10.04.15 . Формат бумаги 60x84 1/16.

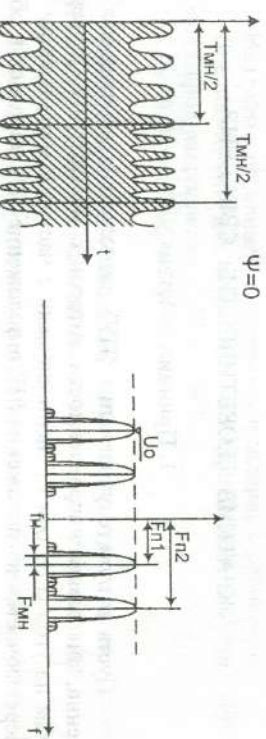
By Max E. Lippman, Inc., New York City
TOMORROW'S NEWS 2000-2020

Ирак 50 экз. Заказ 3033.

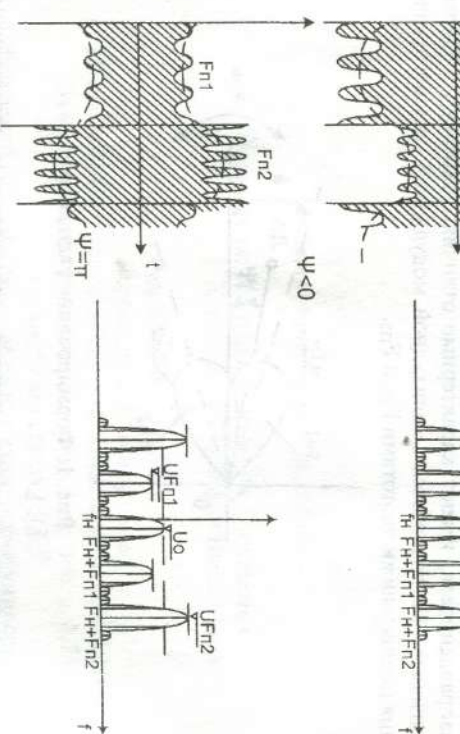
Рязанский государственный радиотехнический университет
390005, Рязань, ул. Гагарина, 59/1.
Редакционно-издательский центр РГРТУ.

Временная структура сигнала, принимаемого летательным аппаратом (ЛА) при различных его положениях относительно равносигнальной зоны, и соответствующий спектральный состав приведены на

- $f_p \pm (2n-1)F_{\text{MH}}$;
- $f_n \pm [F_{\text{Pi}} \pm (2n-1)F_{\text{MH}}]$;
- $f_h \pm [F_{\text{Pi}} \pm (2n-1)F_{\text{MH}}]$.



$\Psi = 0$



$\Psi < 0$

Рис. 2. Временная и спектральная структуры сигналов, принимаемых ЛА при различных Ψ

При нахождении ЛА в радиозоне принимаемый сигнал модулирован только поднесущими частотами. В спектре отсутствуют боковые составляющие первой группы частот, а мощности гармоник по второй

и третьей группам частот одинаковы. При отклонении ЛА от радиозоны принимаемый сигнал оказывается дополнительно промодулированным по амплитуде прямоугольными колебаниями частоты манипуляции. Диаграммы направленности антены. При этом в спектре сигнала появляются боковые частоты в окрестностях частоты несущего колебания и изменяется относительный уровень спектральных составляющих, обусловливаемых частотами поднесущих.

Итак, информация о местоположении ЛА в принимаемом на его борту сигнале заключена:

- 1) в глубине амплитудной модуляции несущего колебания сигналом частоты манипуляции F_{MH} и в фазе этого сигнала; при этом значение коэффициента амплитудной модуляции μ характеризует величину углового отклонения ЛА от радиозоны, а фаза огибающей - направление отклонения;
- 2) в соотношении мощностей по второй и третьей спектральным группам сигнала, при этом значение коэффициента мощностной модуляции μ_p характеризует величину углового отклонения ЛА от радиозоны, а знак "+" коэффициента μ_p указывает направление отклонения.

Информационные параметры сигнала μ и μ_p связаны с угловым отклонением Ψ ЛА от радиозоны следующими зависимостями:

$$m_A = K_{p3}\Psi, \quad (1)$$

$$m_p = 1 + 4 \cdot K_{p3}\Psi, \quad (2)$$

где K_{p3} - коэффициент чувствительности равносигнальной зоны.

Структурная схема аппаратуры пункта управления, предназначенная для формирования в пространстве радиозоны, приведена на рис. 3.

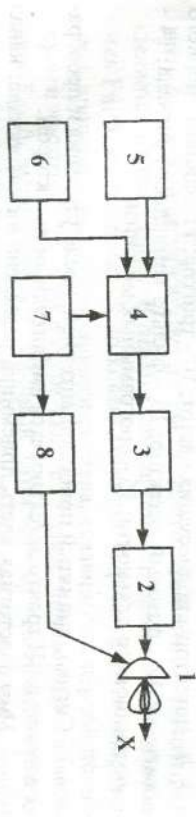


Рис. 3. Структурная схема аппарата пункта управления:
1 - антенна; 2 - генератор ВЧ несущего колебания; 3 - амплитудный модулятор; 4 - переключатель поднесущих частот; 5, 6 - генераторы поднесущих частот; 7 - генератор манипуляционной частоты; 8 - переключатель положений диаграммы направленности

Равносигнальная зона создается за счет переключения диаграммы направленности передающей антенны. Частота переключений (манипуляции) $F_{\text{МН}} = 1 / T_{\text{МН}}$ задается генератором манипуляционной частоты T . Диаграмма направленности находится в положениях 1 и 2 одновременно время, равное $T_{\text{МН}}/2$. Модуляция несущего колебания осуществляется с помощью генераторов поднесущих частот 5 и 6, которые подключаются к модулятору 3 переключателем 4.

Бортовая аппаратура ЛА может выполняться в двух вариантах в зависимости от используемого для формирования команды информационного параметра — па или пр.

Рассмотрим вначале вариант бортовой аппаратуры ЛА на основе информационного параметра па — коэффициента амплитудной модуляции несущего колебания частотой манипуляции диаграммы пере-

Равносигнальная зона создается за счет переключения диаграммы направленности передающей антенны. Частота переключений (манипуляции) $F_{\text{МН}} = 1 / T_{\text{МН}}$ задается генератором манипуляционной частоты T . Диаграмма направленности находится в положениях 1 и 2 одновременно время, равное $T_{\text{МН}}/2$. Модуляция несущего колебания осуществляется с помощью генераторов поднесущих частот 5 и 6, которые подключаются к модулятору 3 переключателем 4.

Бортовая аппаратура ЛА может выполняться в двух вариантах в зависимости от используемого для формирования команды информационного параметра — па или пр.

Рассмотрим вначале вариант бортовой аппаратуры ЛА на основе информационного параметра па — коэффициента амплитудной модуляции несущего колебания частотой манипуляции диаграммы пере-

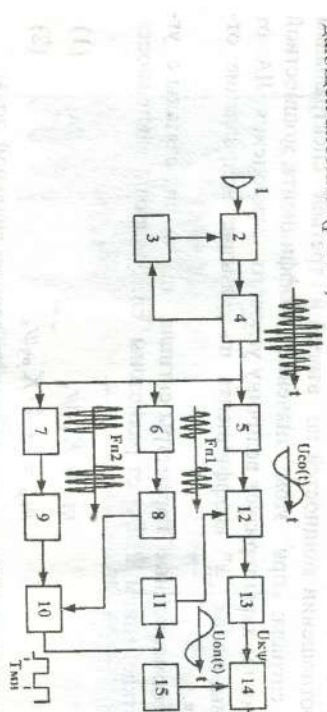


Рис. 4. Структурная схема аппаратуры ЛА при формировании коммандного сигнала на основе информационного параметра τ_A :
 1 - антенна; 2 - тракт ВЧ; 3 - система АРУ; 4 - детектор несущего колебания; 5 - фильтр сигнала ошибки; 6, 7 - фильтры поднесущих частот; 8, 9 - детекторы поднесущих частот; 10 - триггер; 11 - фильтр опорного сигнала; 12 - фазовый детектор; 13 - фильтр коммандного сигнала; 14 - потенциометр дальности; 15 - программный механизм

Сигнал, принятый приемной антенной, после усиления и преобразования в ВЧ тракте детектируется амплитудным детектором.

Низкочастотная часть приемника разделена на два канала: канал сигнала ошибки и канал опорного сигнала. Сигнал с выхода амплитудного детектора 4 параллельно подается на фильтр сигнала ошибки 5, настроенный на частоту Манипуляции F_{Mn} , и на фильтры поднесущих частот 6 и 7. С выхода фильтра сигнала ошибки 5 снимается гармоническое колебание, амплитуда которого пропорциональна коэффициенту

фициенту модуляции та, т.е. угловому отклонению Ψ ЛА от радиозоны, а фаза зависит от направления отклонения.

Полосовые фильтры поднесущих частот 6 и 7, детекторы поднесущих частот 8 и 9, триггер 10 и фильтр опорного сигнала 11 образуют опорный канал.

Опорный сигнал и сигнал ошибок поступают на фазовую десекторную схему, которая осуществляет их перемножение. После фильтра командного сигнала 13 выделяется командное напряжение $U_{k\psi}$, величина и знак которого определяются величиной и направлением отклонения ЛА от радиозоны.

$$U_{\kappa\Psi} = K_{p\rho} K_{\pi\rho} K_{\omega\rho} U_{m\rho} \sqrt{\frac{R_{\kappa\rho} P_{nep} D_{nep} S_{\alpha n\rho}}{2\pi r_{\max}^2}} \Psi, \quad (3)$$

где K_d - коэффициент передачи фазового детектора, K_{co} - коэффициент усиления канала сигнала ошибки, U_{mo} - уровень опорного напряжения, R_{ex} - входное сопротивление приемной антенны, P_{per} - мощность передатчика ПУ, D_{aper} - коэффициент направленного действия передающей антенны ПУ, S_a - эффективная площадь приемной антенны ЛА, r_{max} - максимальное удаление ЛА от ПУ, на которое рассчитано управление.

где K_d - коэффициент передачи фазового детектора, K_{co} - коэффициент усиления канала сигнала ошибки, U_{mo} - уровень опорного напряжения, R_{ex} - входное сопротивление приемной антенны, P_{per} - мощность передатчика ПУ, D_{aper} - коэффициент направленного действия передающей антенны ПУ, S_a - эффективная площадь приемной антенны ЛА, r_{max} - максимальное удаление ЛА от ПУ, на которое рассчитано управление.

Теперь рассмотрим вариант построения бортовой аппаратуры ЛА на основе информационного параметра τ_p – отношение мощностей второй и третьей спектральных группам сигнала (рис. 5). В этом варианте после амплитудного детектора несущего колебания 4 сигнал разделяется на два канала. В первом канале (фильтр поднесущего колебания F_{p1} , 5, выпрямитель 7, пиковый детектор 9) формируется напряжение, пропорциональное мощности сигнала, связанного с первой поднесущей частотой F_{p1} , а во втором канале (фильтр поднесущего колебания F_{p2} , 6, выпрямитель 8, пиковый детектор 10) – напряжение, пропорциональное мощности сигнала, связанного со второй поднесущей частотой F_{p2} . Формируемые в указанных каналах напряжения равны, когда ЛА находится в равносигнальной зоне. Если снаряд находится вне равносигнальной зоны, напряжения в первом и втором каналах различны. Из разности этих напряжений формируется командный сигнал, пропорциональный отклонению снаряда от радиозоны.

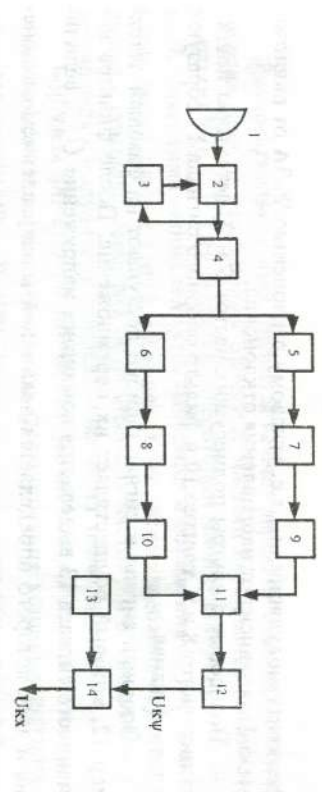


Рис. 5. Структурная схема аппаратуры ЛА при формировании командного сигнала на основе информационного параметра ψ :
1 - антенна; 2 - тракт ВЧ; 3 - система АРУ; 4 - детектор несущего колебания; 5, 6 - фильтры полнесущих частот; 7, 8 - выпрямители; 9, 10 - пиковые детекторы; 11 - разностный каскад; 12 - фильтр низких частот; 13 - потенциометр дальности; 14 - программируемый механизм

2. Контур управления

На основании принципа работы системы и ее функционального построения можно построить структурную схему замкнутого контура (рис. 6). Направление полета ЛА определено равносигнальной зоной, и управление подчинено условию $\Psi_3=0$. Фактическое направление движения ЛА характеризуется углом отхода ψ , являющимся ошибкой управления. Угловая ошибка управления подается на радиозону РЗ, связывающую угол отклонение ЛА от радиозоны ψ с командным напряжением U_k . Эта связь осуществляется так.

Первый элемент радиозоны преобразует угловое отклонение ψ ЛА от радиозоны в коэффициент амплитудной модуляции τ_A несущей частоты частотой манипуляции F_{mn} . Коэффициент передачи первого элемента равен угловой чувствительности равносигнальной зоны

$$K_1 = K_{P3} = m_A / \psi. \quad (4)$$

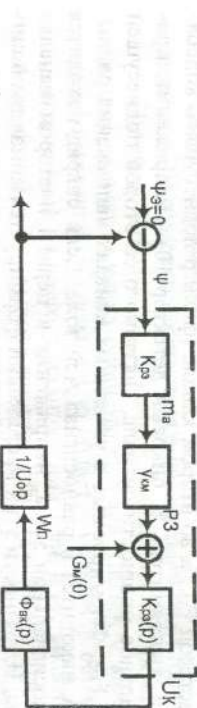


Рис. 6. Контур управления

Вторым элементом радиозоны является преобразователь коэффициента амплитудной модуляции τ_A в командное напряжение.

Коэффициент передачи преобразователя

$$\gamma_{km} = U_k / M_A = K_o K_{co} U_{mo} \sqrt{R_{ex} P_{per} D_{per} S_{amp}} / 2\pi r_{max}^2 \Psi. \quad (5)$$

Третий элемент радиозоны - фильтр командного сигнала с передаточной функцией $K_{rz}(p)$, при этом $K_{rz}(0)=1$.

Выработанное командное напряжение подается на звено автопилот - корпус, передаточная функция которого $\Phi_{ak}(p)$, а выходной величиной является поперечное ускорение W_p . Новое угловое положение ЛА связывается с поперечным ускорением динамическим звеном.

Передаточная функция динамического звена (D_3)

$$D_3(p) = 1 / (L_0 P). \quad (6)$$

Выходная координата контура - угол Ψ .

Передаточная функция контура управления

$$\Phi_\Psi(p) = K_{P3} \gamma_{km} K_{rz}(p) / U_o p / 1 + K_{P3} \gamma_{km} K_{rz}(p) / U_o P. \quad (7)$$

Эффективная полоса пропускания контура управления

$$\Delta F_s = \frac{1}{2\pi} \int_{-\infty}^{+\infty} |\Phi(j\omega)_\Psi|^2 d\omega. \quad (8)$$

3. Ошибки управления

Для системы управления в радиозоне рассматриваются две группы ошибок - аппаратурные и шумовые. Для системы управления, построенной на основе информационного параметра ψ , обе группы ошибок связаны с анализом работы фазового детектора.

Если уровень шумов невелик, то влияние шума будет сказываться в основном на канале сигнала ошибки, приводя к появлению в контуре управления (рис. 6) помехи на выходе безынерционной части контура со спектральной плотностью

$$G_u(0) = 4G_{max} (K_{co} K_{il})^2, \quad (9)$$

где G_{max} - спектральная плотность шумов на входе приемника.

Средняя квадратическая ошибка управления, обусловленная шумами,

$$\delta_{\psi/u} = \sqrt{G_u \Delta F_s} / K_{P3} \gamma_{km}. \quad (10)$$

Заметив, что $K_{P3} = m_A / \psi = 1 / \psi_{max}$, и использовав зависимости (5) и (9), преобразуем (10) к виду

$$\delta_{\Psi/\mu} = 2r_{\max} \Psi_{\max} / U_{mo} \sqrt{2\pi G_{\text{new}} \Delta F_s / P_{\text{rep}} D_{\text{rep}} S_{\text{amp}} R_{\text{sx}}} . \quad (11)$$

WATERFOWL AND WILDLIFE

В системе MICRO – CAP 5 создан файл RADZONS.CIR, содержащий схему, имитирующую работу системы радиоуправления в радиозоне. Структурная схема имитатора приведена на рис. 7. На схеме приведены следующие обозначения: COMMAND – датчик напряжения U_{ψ} пропорционального угловому отклонению ЛА от радиозоны, NF – генераторы поднесущих частот, ПО – потенциометр отклонения (устройство, имитирующее угловое отклонение ЛА от радиозоны), K – коммутатор, и – генератор белого шума, ПД – потенциометр дальности (устройство, имитирующее удаление ЛА от ПУ), \oplus – сумматоры, (устройство, имитирующее удаление ЛА от ПУ), \ominus – детекторы поднесущих частот, ФП1, ФП2 – фильтры поднесущих частот, Д – детекторы поднесущих частот, Т – тригер, ФСО – фильтр сигнала ошибки, УСО – усилитель сигнала ошибки, ФД – фазовый детектор, ФКС – фильтр командного сигнала.

ПОРЯДОК ВЫПОЛНЕНИЯ РАБОТ

1. Запустить систему MICRO – CAP 5 и вызвать файл RADZONS.CIR.
 2. Провести временной анализ устройства:
 - войти в меню ANALYSIS и выбрать функцию TRANSIENT ANALYSIS;
 - в колонке P набрать номера графиков;
 - в колонке Expression набрать имена контрольных точек схемы, сигналы которых требуется посмотреть [например, V(1)]; в приемнике исследуются точки 2, 5, 6, 8, 9, 10; в приемнике – 13, 14, 15, 16, 17, 18, 19, 20, 21;
 - в колонке Expression установить t (т.е. исследование временных зависимостей);
 - в колонке XRange установить требуемое время анализа (например, 0.0005, 0);
 - в колонке YRange установить предполагаемый размах значений напряжения в исследуемой точке (если размах неизвестен, то поставить значения –10, 10, а также метку против строки Auto Scale Ranges);
 - нажать кнопку RUN в меню анализа,
 - для изменения условий анализа войти в меню TRANSIENT, включить режим Limits и изменить значения временных параметров или имена контрольных точек.

Рис. 7. Структурная схема имитатора системы управления в радиозоне

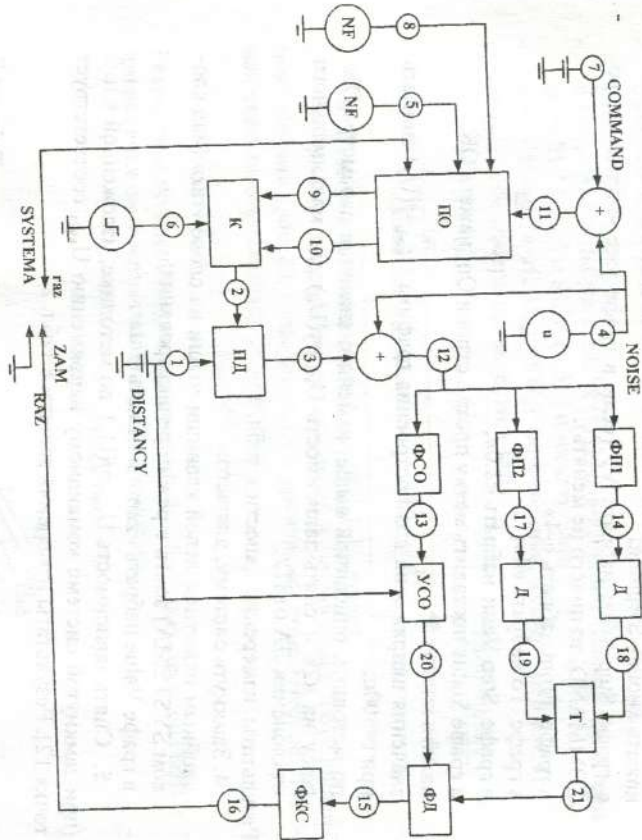
Чтобы вернуться к схеме, нажмите **ANALYSIS** с помощью кнопки **X**.

3. Снять зависимость командного напряжения U_{ψ} [напряжение в точке V(7)] ЛА разомкнутой угловой отклонения ψ [точка (10) квир] от угла управления при минимальном Γ_{min} и максимальном Γ_{max} удаления ЛА от пункта управления, для чего:
— нажать левой клавиши мыши на слове Distance, войти

в режимеедактирования, в графе Value набрать «1» (что соответствует минимальному удалению ЛА от ПУ) и нажать Enter; **TRANSIENT**

ANALYSIS;

Лицом к лицу, в двух строках колонки Р установить «1»; в соответствующих графах Y-expression - V(7) и V(16) в колонке XRange установить время анализа 0.0005. 0; поставить метку против строки Auto Scale Ranges:



- нажать кнопку Stepping;
- в графе Step What набрать V7 (если в графе уже набрано слово COMMAND, то ничего не менять);
- в графе From набрать «4»;
- в графе To набрать «4»;
- в графике Step Value набрать «2.0»;
- в графике Status поставить метку против строки On; нажать OK;
- нажать кнопку ▶;
- значения напряжения для построения графика $U_{\psi/\rho} = f(U_\psi)$ снимать при $t=500$;
- по методике, описанной выше, изменить значение параметра Disp-таксу на «2» и снять зависимость $U_{\psi/\rho} = f(U_\psi)$ для максимального отклонения ЛА от ПУ.

Результаты измерения занести в табл. 1

U_ψ, B	$U_{\psi/\rho}, B$
4	
5	
6	

Таблица 1

U_ψ, B	$U_{\psi/\rho}, B$

Таблица 2

U_ψ, B	$U_{\psi/\rho}, B$

6. Построить графики зависимости $U_{\psi/\rho} = f(U_\psi)$, $U_{\psi/\rho} = f(U_\psi)$.

7. Разомкнуть систему, для чего:

- двойным нажатием левой клавиши мыши на слове «затм» (над словом SYSTEMA) войти в режим редактирования;

- в графике Value набрать «глаз» и нажать Enter.

8. Снять зависимость командного напряжения $U_{\psi/\rho}$ [точка (16)] от углового отклонения U_ψ [напряжение в точке V(7)] ЛА разомкнутой системы управления при минимальном Γ_{\min} удалении ЛА от пункта управления в условиях действия аддитивных шумов для трех уровня шума, для чего:
- установить стрелку на сумматор (между точками 3 и 12), имитирующий влияние аддитивных шумов;
 - нажать кнопку $\Delta U_{\text{шум}}$ в строке меню $\Delta U_{\text{шум}}$ и

- двойным нажатием левой клавиши мыши войти в режим редактирования;
- в графике Value набрать SUM(1,4) [для второй и третьей характеристики SUM(1,5) и SUM(1,6)] и нажать Enter;
- снять зависимость $U_{\psi/\rho} = f(U_\psi)$ по методике, изложенной в п. 3;
- результаты измерения занести в табл. 3.

Таблица 3

U_ψ, B	4	5	6
$U_{\psi/\rho}, B$			
$U_{\psi/\rho}, B$			
$U_{\psi/\rho}, B$			

9. Построить зависимости $U_{\psi/\rho} = f(U_\psi)/U_\psi = \text{const}$.

10. Оценить систематическую ошибку управления, обусловленную шумами (рис. 8). Относительный уровень систематической шумовой ошибки определяется отношением
- $$\beta_{\text{шум}} = \Delta U_{\text{шум}} / U_{\text{шум}}$$
- Результаты по оценке $\beta_{\text{шум}}$ свести в табл. 4. Объяснить причины возникновения систематической шумовой ошибки.

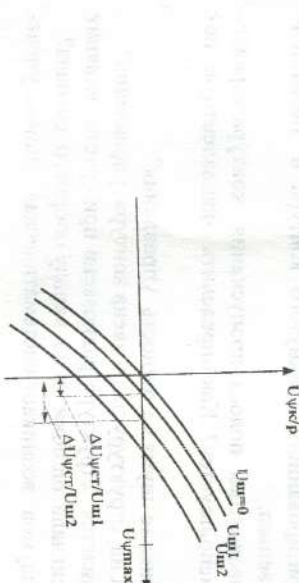


Рис. 8. Оценка систематической шумовой ошибки управления

Таблица 4

U_ψ	4	5	6
$\beta_{\text{шум}}$			
$\beta_{\text{шум}}$			
$\beta_{\text{шум}}$			

11. Снять зависимость командного напряжения $U_{\psi/\rho}$ [точка (16)] от углового отклонения U_ψ [напряжение в точке V(7)] ЛА разомкнутой системы управления при минимальном Γ_{\min} удалении ЛА от пункта управления в условиях действия мультипликативных шумов для трех значений уровня шума, для чего:

- установить нулевой уровень аддитивных шумов (в графе Value набрать $SUM(1,0)$);
- установить стрелку на сумматор (над ПО), имитирующий влияние мультиплексивных шумов;
- двойным нажатием левой клавиши мыши войти в режим редактирования;
- в графе Value набрать $SUM(1,4)$ [для второй и третьей характеристики $SUM(1,5)$ и $SUM(1,6)$] и нажать Enter;
- снять зависимость $U_{kw\rho} = f(U_w)$ по методике, изложенной в п. 3;
- построить зависимости $U_{kw\rho} = f(U_q) / U_u = \text{const.}$

КОНТРОЛЬНЫЕ ВОПРОСЫ

1. Принципы действия системы управления в радиозоне.
2. Структурная схема аппаратуры пункта управления.
3. Структурная схема аппаратуры ЛА при информационном параметре па-
4. Структурная схема аппаратуры ЛА при информационном параметре пр-
5. Структура линеаризованного замкнутого контура и передаточ-
- ные функции его звеньев.
6. Что такое эквивалентная полоса пропускания контура управле-
- ния? Для чего она используется? Как определить эквивалентную по-
- лосу?
7. Как оценить влияние шума на точность управления?
8. Как влияет шум на структуру радиозвена контура управления?
9. Как устанавливается структура радиозвена при учете влияния шумов по каналу ошибки и по каналу опорного сигнала?
10. Почему из-за шумов возникает систематическая ошибка управ-
- ления?
11. Как оценить величину систематической ошибки управления, обусловленной шумами?

БИБЛИОГРАФИЧЕСКИЙ СПИСОК

1. Вейцель В.А., Типутин В.Н. Радиоуправление. М.: Сов. радио, 1973.
2. Моргунов А. Н. Системы радиотеленаведения. Рязань: РРТИ, 1978.
3. Пушкин А.Н. Динамические и флюктуационные ошибки управляемых объектов. М.: Сов. радио, 1961.